

RECETTE GÉOMÉTRIQUE DES BEIGNETS

Problématique : Comment prouver l'existence des cercles de Villarceau ?

Possèdent-ils des propriétés remarquables ? Comment les mettre en évidence ou les construire ?

Table des matières

1	Préliminaires	2
1.1	Construction du tore de \mathbb{R}^3	2
1.2	Plan tangent	2
2	Etude analytique des cercles de Villarceau	3
2.1	Présentation du problème	3
2.2	Plan bitangent	3
2.3	Equation des cercles	4
2.4	Représentation dans l'espace	5
3	Construction d'une épure	6
4	Démonstration algébrique	7
4.1	Espace projectif	7
4.2	Points cycliques	7
4.3	Preuve du théorème de Villarceau	8
5	Loxodromie du tore	10
5.1	Mise en équation	10
5.2	Résolution	11
6	Construction réelle des cercles de Villarceau	12
6.1	Note historique et exemples architecturaux	12
6.2	Réalisation pratique	13
7	Références	19

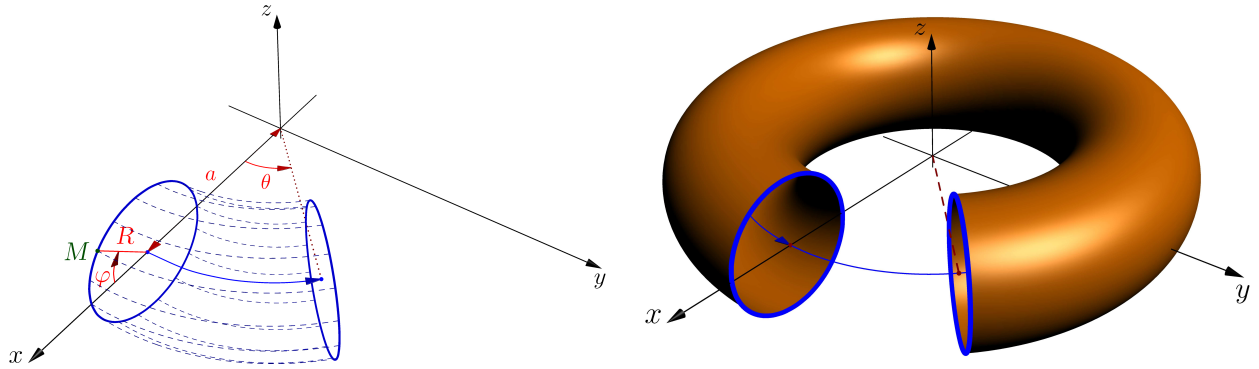
1 Préliminaires

1.1 Construction du tore de \mathbb{R}^3

Définition : Un tore est la surface $\Sigma_{a,R}$ engendrée par la rotation d'un cercle C de rayon R autour d'une droite affine située dans son plan à une distance a de son centre. On prendra $R < a$.

Cercle bleu : $\varphi \mapsto \begin{pmatrix} a + R \cos \varphi \\ 0 \\ R \sin \varphi \end{pmatrix}$. Par rotation : $(\varphi, \theta) \mapsto \begin{pmatrix} \cos \theta & -\sin \theta & 0 \\ \sin \theta & \cos \theta & 0 \\ 0 & 0 & 1 \end{pmatrix} \begin{pmatrix} a + R \cos \varphi \\ 0 \\ R \sin \varphi \end{pmatrix}$.

Donc $\Sigma_{a,R}$ paramétré par $(\varphi, \theta) \mapsto M = O + (a + R \cos \varphi)\vec{u} + R \sin \varphi \vec{k}$ où $\begin{cases} \vec{u} = \cos \theta \vec{i} + \sin \theta \vec{j} \\ \vec{v} = \sin \theta \vec{i} - \cos \theta \vec{j} \end{cases}$.



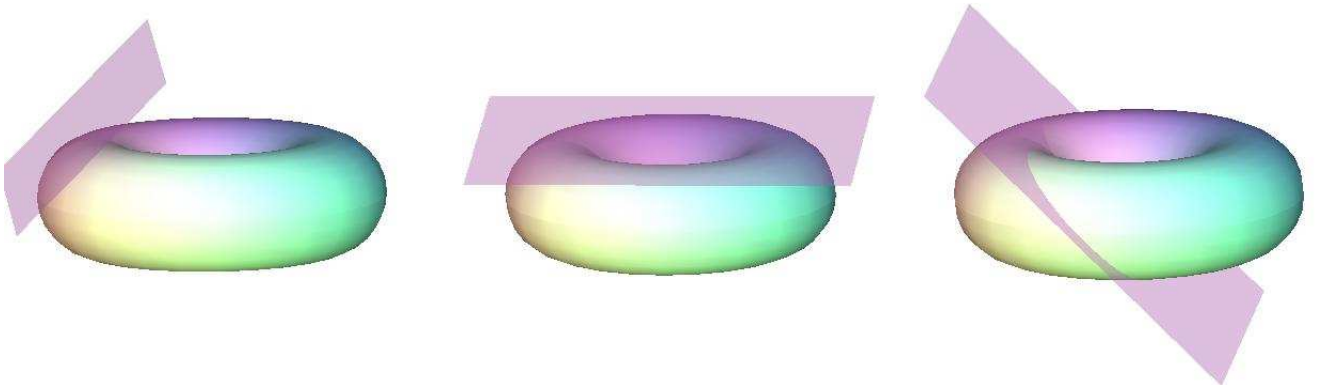
1.2 Plan tangent

$$T_m : \underbrace{X \cos \varphi_0 + Z \sin \varphi_0 - (a \cos \varphi_0 + r)}_{\Phi(X,Y,Z)} = 0$$

$$F(\varphi, \theta) = \Phi(x(\varphi, \theta), y(\varphi, \theta), z(\varphi, \theta)) = \underbrace{(a + R \cos \varphi) \cos \theta \cos \varphi_0}_{x(\varphi, \theta)} + \underbrace{R \sin \varphi \sin \varphi_0}_{z(\varphi, \theta)} - (a \cos \varphi_0 + R)$$

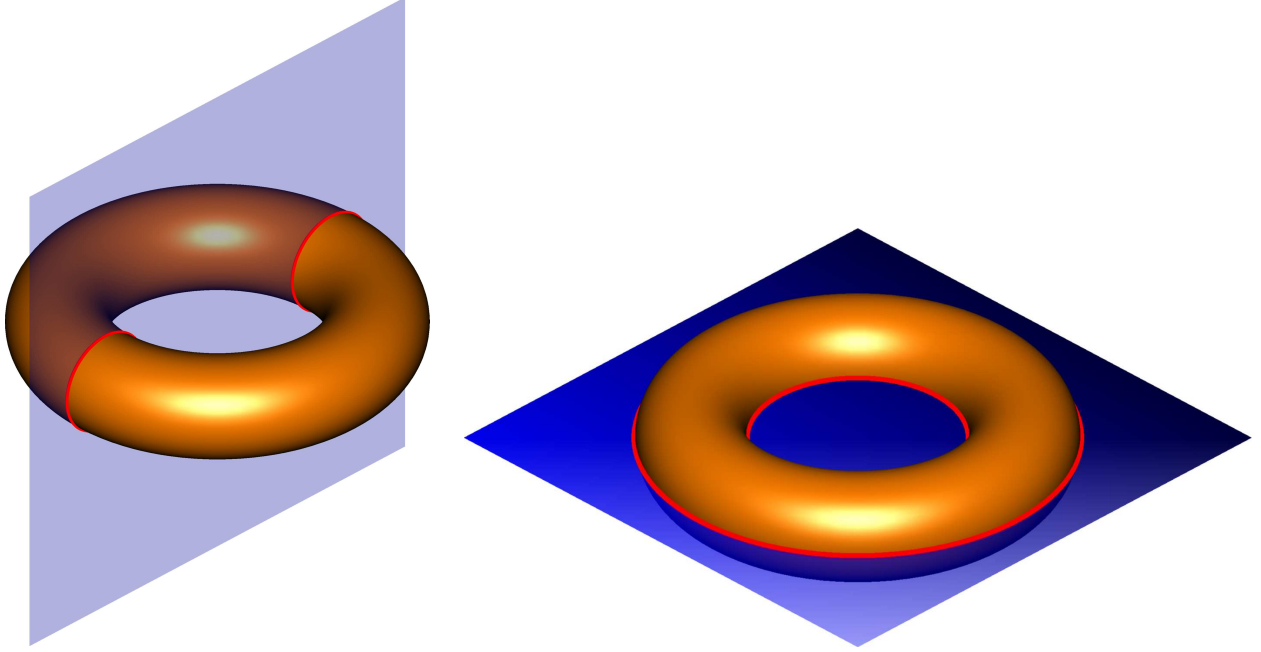
$$\rho\tau - \sigma^2 = R \cos \varphi_0 (a + R \cos \varphi_0)$$

$-\frac{\pi}{2} < \varphi_0 < \frac{\pi}{2}$: points *elliptiques*, $\varphi_0 = \pm \frac{\pi}{2}$: points *paraboliques*, $\frac{\pi}{2} < \varphi_0 < \frac{3\pi}{2}$: points *hyperboliques*.

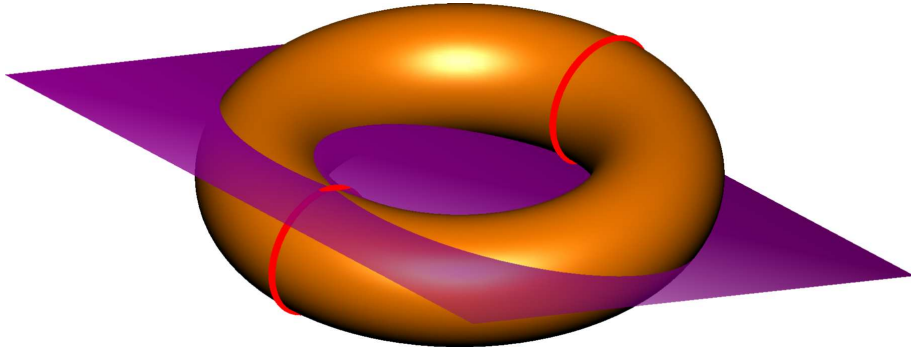


2 Etude analytique des cercles de Villarceau

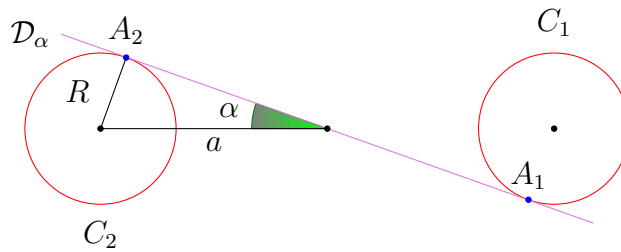
2.1 Présentation du problème



2.2 Plan bitangent



Dans le plan $x = 0$:



$$\begin{cases} \alpha = \arcsin\left(\frac{R}{a}\right) \\ \mathcal{P}_\alpha : z = \tan(\alpha)y \end{cases} \quad \begin{cases} (y-a)^2 + z^2 = R^2 \quad (C_1) \\ (y+a)^2 + z^2 = R^2 \quad (C_2) \end{cases} \quad \begin{cases} A_1(a \cos^2 \alpha, a \sin \alpha) \\ A_2(-a \cos^2 \alpha, -a \sin \alpha \cos \alpha) \end{cases} \quad \text{dans } (O; \vec{j}, \vec{k})$$

2.3 Equation des cercles

► \mathcal{P}_α munit du repère orthonormé $\mathcal{R} = (O, \vec{i}, \sin \alpha \vec{j} + \cos \alpha \vec{k})$.

$M(x, y, z) \in \mathcal{P}_\alpha$ dans $(O, \vec{i}, \vec{j}, \vec{k}) \iff (x, \frac{y}{\cos \alpha})$ dans \mathcal{R} ; en effet:

$$\overrightarrow{OM} = x\vec{i} + y\vec{j} + y \tan \alpha \vec{k} = x\vec{i} + \frac{y}{\cos \alpha} (\sin \alpha \vec{j} + \cos \alpha \vec{k})$$

$$M \in \mathcal{P}_\alpha \cap \Sigma_{a,R} \iff \begin{cases} z = y \tan \alpha \\ (x^2 + y^2 + z^2 + a^2 - R^2)^2 = 4a^2(x^2 + y^2) \end{cases}$$

$$\iff (X^2 + Y^2 + a^2 - R^2)^2 = 4a^2(X^2 + Y^2 \cos^2 \alpha)$$

$$\iff (X^2 + Y^2)^2 - 2(a^2 + R^2)X^2 + 2(a^2 - R^2 - 2a^2 \cos^2 \alpha)Y^2 + (a^2 - R^2)^2 = 0$$

$$\iff (X^2 + Y^2)^2 - 2(a^2 + R^2)X^2 + 2(-a^2 + R^2)Y^2 + (a^2 - R^2)^2 = 0$$

$$\iff (X^2 + Y^2 + uX + vY + w)(X^2 + Y^2 + u'X + v'Y + w') = 0$$

$\mathcal{P}_\alpha \cap \Sigma_{a,R}$ est la réunion dans \mathcal{R} de $(X - R)^2 + Y^2 = a^2$ et $(X + R)^2 + Y^2 = a^2$

► Paramétrisation des cercles de Villarceau :

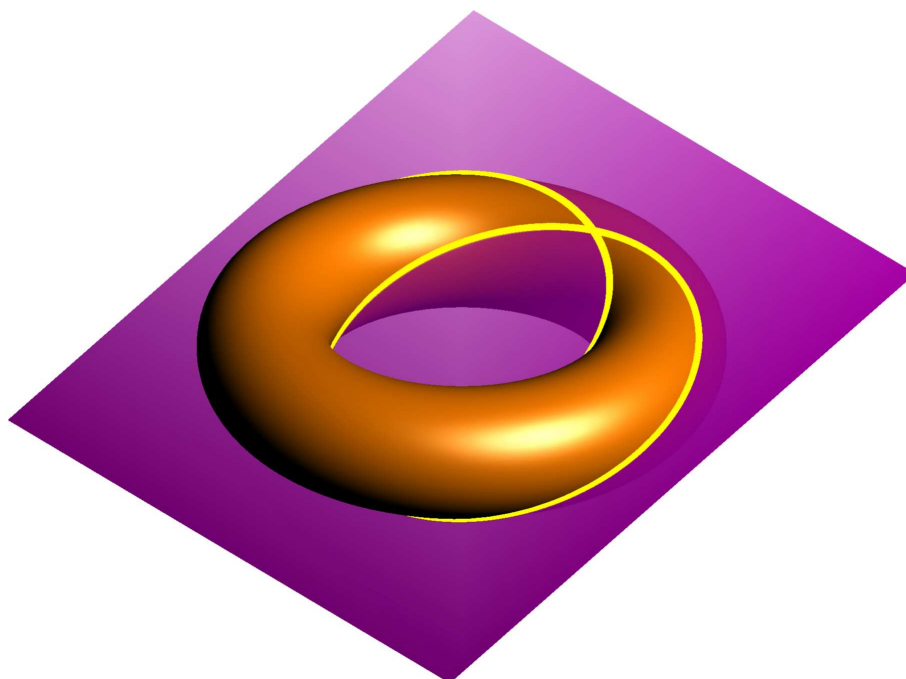
Celle du tore : $\begin{cases} x = (a + R \cos \varphi) \sin \theta \\ y = (a + R \cos \varphi) \cos \theta \\ z = R \sin \varphi \end{cases}$ et l'équation du plan $z = \tan \alpha y \iff z = \frac{R}{\sqrt{a^2 - R^2}} y$, d'où :

$$R \sin \varphi \sqrt{a^2 - R^2} - R(a + R \cos \varphi) \cos(\theta) = 0 \iff \cos \theta = \frac{\sqrt{a^2 - R^2} \sin \varphi}{a + R \cos \varphi}$$

$$\sin \theta = \varepsilon \sqrt{1 - \cos^2 \theta} = \varepsilon \sqrt{\frac{(a + R \cos \varphi)^2 - (a^2 - R^2) \sin^2 \varphi}{(a + R \cos \varphi)^2}} = \varepsilon \frac{a \cos \varphi + R}{a + R \cos \varphi}$$

$$\gamma_\varepsilon(\varphi) = \begin{cases} x = \varepsilon(a \cos \varphi + R) \\ y = \sqrt{a^2 - R^2} \sin \varphi \\ z = R \sin \varphi \end{cases}$$

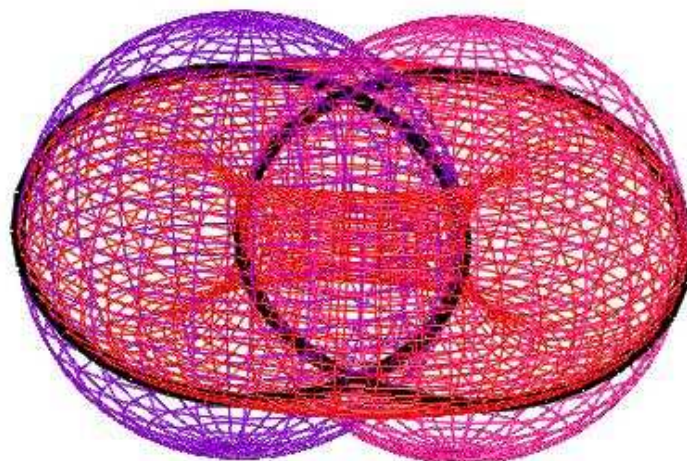
2.4 Représentation dans l'espace



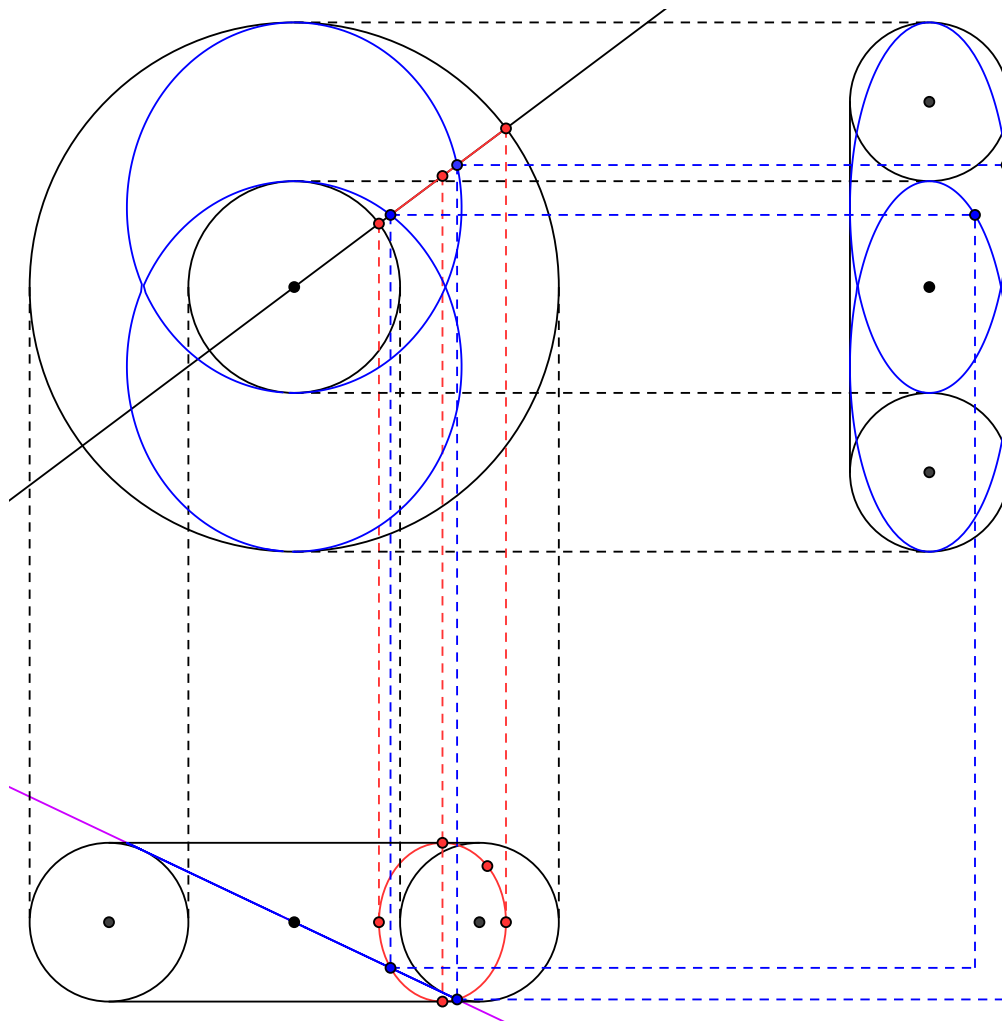
☞ Intersection du tore avec les sphères de centres $\Omega_\varepsilon(\varepsilon R, 0, 0)$ et de rayon a .

En effet γ_ε appartient bien à ces sphères :

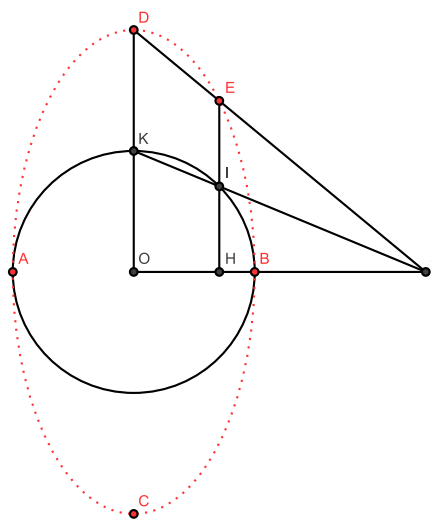
$$\Omega_\varepsilon \gamma_\varepsilon(\varphi)^2 = a^2 \cos^2 \varphi + (a^2 - R^2) \sin^2 \varphi + R^2 \sin^2 \varphi^2 = a^2$$



3 Construction d'une épure



👉 *Comment obtenir le cinquième point ?*



4 Démonstration algébrique

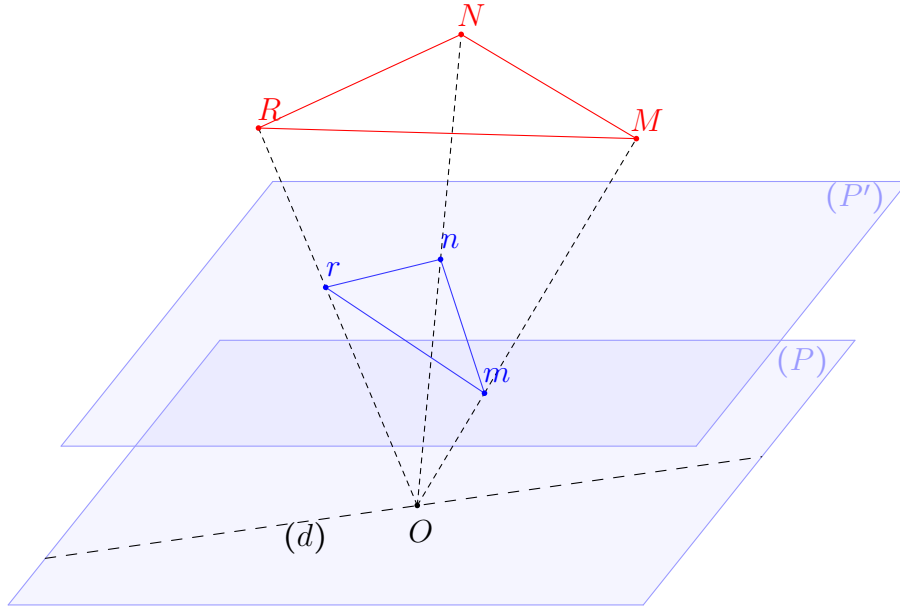
4.1 Espace projectif

Définition : Soit E un \mathbb{K} -espace vectoriel non réduit à $\{0\}$. On définit sur $E - \{0\}$ la relation :

$$x\mathcal{R}y \Leftrightarrow \exists \lambda \in \mathbb{K}^*, x = \lambda y$$

L'espace **projectif** sur E est l'ensemble quotient de $E - \{0\}$ par la relation d'équivalence \mathcal{R} .

Exemple : l'espace projectif de \mathbb{R}^3 .



☞ On se place dans l'espace projectif complexe quotient de $\mathbb{C}^4 - \{(0, 0, 0, 0)\}$ par \mathcal{R} . On l'identifie à \mathbb{C}^3 (en associant à (x, y, z) la classe d'équivalence $(x, y, z, 1)$), complété par un plan à l'infini ensemble des classes d'équivalence des vecteurs de la forme $(X, Y, Z, 0)$.

4.2 Points cycliques

Définition : Les **points cycliques** d'un plan sont les points à l'infini de tous ses cercles.

Propriété n°1 : Les coordonnées (projectives) des points cycliques sont $(1, i, 0)$ et $(1, -i, 0)$.

Preuve : $(x - a)^2 + (y - b)^2 = R^2$. $x = \frac{X}{Z}$ et $y = \frac{Y}{Z}$: $(X - aZ)^2 + (Y - bZ)^2 = R^2 Z^2$.

Définition : L'ensemble de tous les points cycliques de tous les plans est l'ombilicale.

Propriété n°2 : L'ombilicale est la courbe du plan à l'infini d'équation $X^2 + Y^2 + Z^2 = 0$ (et $T = 0$).

Preuve : De même $(x - a)^2 + (y - b)^2 + (z - c)^2 = R^2 \Rightarrow (X - aT)^2 + (Y - bT)^2 + (Z - cT)^2 = R^2 T^2$.

Propriété n°3 : *L'intersection d'un tore avec le plan à l'infini est l'ombilicale (comptée 2 fois).*

Preuve : On homogénéise et on obtient $(X^2 + Y^2 + Z^2 + (a^2 - R^2)T^2)^2 - 4a^2T^2(X^2 + Y^2) = 0$.

Propriété n°4 : *L'intersection d'un plan tangent en un point régulier à une surface algébrique et de cette surface est une courbe algébrique de même degré que la surface, admettant un point double au point de tangence.*

Théorème de Bézout : *L'intersection de deux courbes algébriques de degrés m et n (n'ayant pas de composante commune) se fait en mn points (en comptant les multiplicités).*

4.3 Preuve du théorème de Villarceau

Théorème : *L'intersection d'un tore avec un plan bitangent est la réunion de deux cercles.*

Preuve : ► *L'intersection est une quartique admettant quatre points doubles.*

▷ 2 points doubles réels d'après la **propriété n°4**.

▷ 2 points cycliques issue de l'intersection du plan bitangent (projectif) avec le tore (projectif).

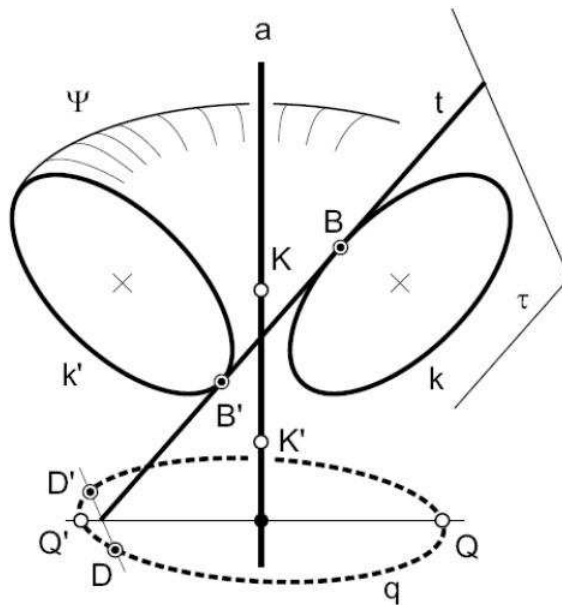
► *Une quartique admettant quatre points doubles est la réunion de deux coniques.*

▷ M_1, M_2, M_3, M_4 les 4 points doubles sus-cités. $M_5 \in \mathcal{Q}$. \mathcal{C} conique passant par ces cinq points. Tenant compte des multiplicités cela signifie que $\mathcal{C} \cap \mathcal{Q}$ contient au moins 9 points donc $\mathcal{C} \subset \mathcal{Q}$.

▷ On recommence avec un point $M'_5 \in \mathcal{Q} \setminus \mathcal{C}$ et une conique \mathcal{C}' passant par ces points.

► *Une conique passant par les points cycliques est un cercle.*

▷ $aX^2 + bXY + cY^2 + dXZ + eYZ + fZ^2 = 0$ puis on $Z = 0$ on obtient : $aX^2 + bXY + cY^2 = 0$.



5 Loxodromie du tore

Définition : les *loxodromies* d'une surface sont les courbes \mathcal{C}^1 tracées sur celle-ci, qui coupent les parallèles selon un angle constant, $\overrightarrow{OM} = \overrightarrow{G}(\theta) = \overrightarrow{F}(\theta, \varphi(\theta))$.

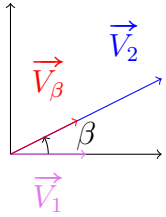
5.1 Mise en équation

- Un vecteur tangent à la courbe $\overrightarrow{G}(\theta)$ est : $\frac{d\overrightarrow{G}}{d\theta} = (a + R \cos \varphi) \vec{v}(\theta) + \frac{d\varphi}{d\theta} (-R \sin \varphi \vec{u}(\theta) + R \cos \varphi \vec{k})$.
- Un vecteur tangent au parallèle de $\Sigma_{a,R}$ passant par M est : $(a + R \cos \varphi) \vec{v}(\theta)$.

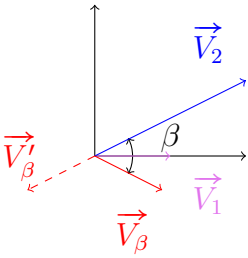
La base $(\vec{v}(\theta), -\sin \varphi \vec{u}(\theta) + \cos \varphi \vec{k})$ est orthonormée, dans celle-ci :

$$\vec{V}_1 = \begin{pmatrix} 1 \\ 0 \end{pmatrix}, \quad \vec{V}_2 = \begin{pmatrix} a + R \cos(\theta) \\ R \frac{d\varphi}{d\theta} \end{pmatrix}$$

On veut que $(\vec{V}_1, \vec{V}_2) = \beta$. Posons $\vec{V}_\beta = \begin{pmatrix} \cos \beta \\ \sin \beta \end{pmatrix}$ et $\vec{V}'_\beta = \begin{pmatrix} -\cos \beta \\ \sin \beta \end{pmatrix}$. Deux situations possibles :



$$\det(\vec{V}_2, \vec{V}_\beta) = 0 \Leftrightarrow \begin{vmatrix} a + R \cos \theta & \cos \beta \\ R \frac{d\varphi}{d\theta} & \sin \beta \end{vmatrix} = 0 \Leftrightarrow (a + R \cos \theta) \sin \beta = R \frac{d\varphi}{d\theta} \cos \beta$$



$$\det(\vec{V}_2, \vec{V}'_\beta) = 0 \Leftrightarrow \begin{vmatrix} a + R \cos \theta & \cos \beta \\ R \frac{d\varphi}{d\theta} & \sin \beta \end{vmatrix} = 0 \Leftrightarrow (a + R \cos \theta) \sin \beta = -R \frac{d\varphi}{d\theta} \cos \beta$$

$$(a + R \cos \varphi)^2 \sin^2 \beta = \left(R \frac{d\varphi}{d\theta} \right)^2 \cos^2 \beta$$

$$\cos^2 \beta \sin^2 \alpha \left(\frac{d\varphi}{d\theta} \right)^2 = \sin^2 \beta (1 + \sin \alpha \cos \varphi)^2$$

5.2 Résolution

► Choix : $\beta = \alpha$.

$$\cos \alpha \frac{d\varphi}{d\theta} = (1 + \sin \alpha \cos \varphi)$$

Changement de variable $t = \tan\left(\frac{\varphi}{2}\right)$, $dt = \frac{1}{2}(1+t^2)d\varphi$ on a :

$$\int \cos \alpha \frac{d\varphi}{1 + \sin \alpha \cos \varphi} = 2 \operatorname{Arctan} \left(t \sqrt{\frac{1 - \sin \alpha}{1 + \sin \alpha}} \right)$$

$$\theta = 2 \operatorname{Arctan} \left(\sqrt{\frac{1 - \sin \alpha}{1 + \sin \alpha}} \tan \frac{\varphi}{2} \right) \text{ puis } \varphi(\theta) = 2 \operatorname{Arctan} \left(\sqrt{\frac{1 + \sin \alpha}{1 - \sin \alpha}} \tan \frac{\theta}{2} \right)$$

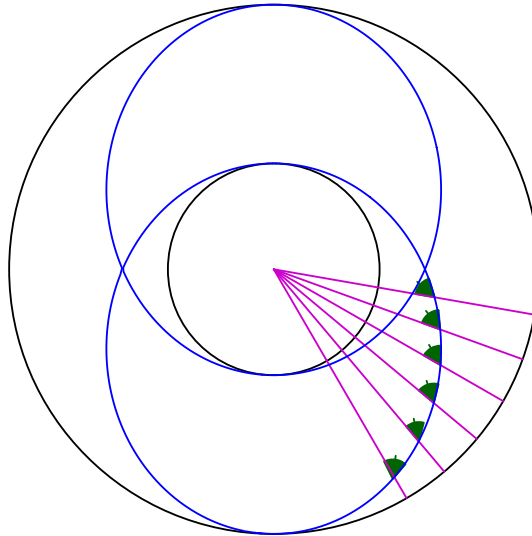
Un système d'équations paramétriques dans \mathcal{R}_0 de L est:

$$\begin{pmatrix} x = (a + R \cos(\varphi(\theta))) \cos \theta \\ y = (a + R \cos(\varphi(\theta))) \sin \theta \\ z = R \sin \varphi(\theta) \end{pmatrix} \Leftrightarrow \begin{pmatrix} x = \frac{a \cos^2 \alpha \cos \theta}{1 - \sin \alpha \cos \theta} \\ y = \frac{a \cos^2 \alpha \sin \theta}{1 - \sin \alpha \cos \theta} \\ z = \frac{R \cos \alpha \sin \theta}{1 - \sin \alpha \cos \theta} \end{pmatrix} \text{ pour } \theta \in]-\pi, \pi]$$

$$r(\theta) = \frac{a \cos^2 \alpha}{1 - \sin \alpha \cos \theta}$$

- pour tout point $M(x, y, z)$ de L , on a $z = y \tan \alpha$.
- L est inclus dans $\mathcal{P}_\alpha \cap \Sigma_{a,R}$.
- L est le cercle de $\mathcal{P}_\alpha \cap \Sigma_{a,R}$ d'équation dans \mathcal{R} : $(X - R)^2 + Y^2 = a^2$.

Conclusion : les loxodromies d'angle α sont les **cercles de Villarceau**.

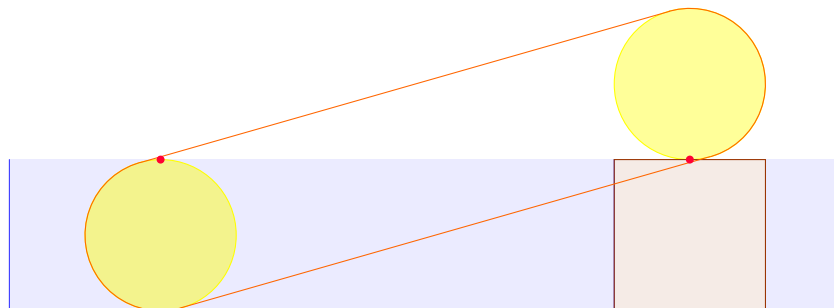


6 Construction réelle des cercles de Villarceau

6.1 Note historique et exemples architecturaux



6.2 Réalisation pratique





Premier marquage



Second marquage







7 Références

- [1] J-D. Eiden, *Géométrie analytique classique*, Calvage et Mounet, 2009.
- [2] D. Feldmann, <http://denisfeldmann.fr/PDF/cercles.pdf>.
- [3] M. Berger, <http://www.bibnum.education.fr/files/villarceau-analyse.pdf>, 2010.
- [4] Article Wikipédia, http://fr.wikipedia.org/wiki/Géométrie_projective.
- [5] Sujet de concours, *Mathématiques MP II*, TPE, 1996.